HPES长期流强检测设备

Beam Monitor Online System - BMOS

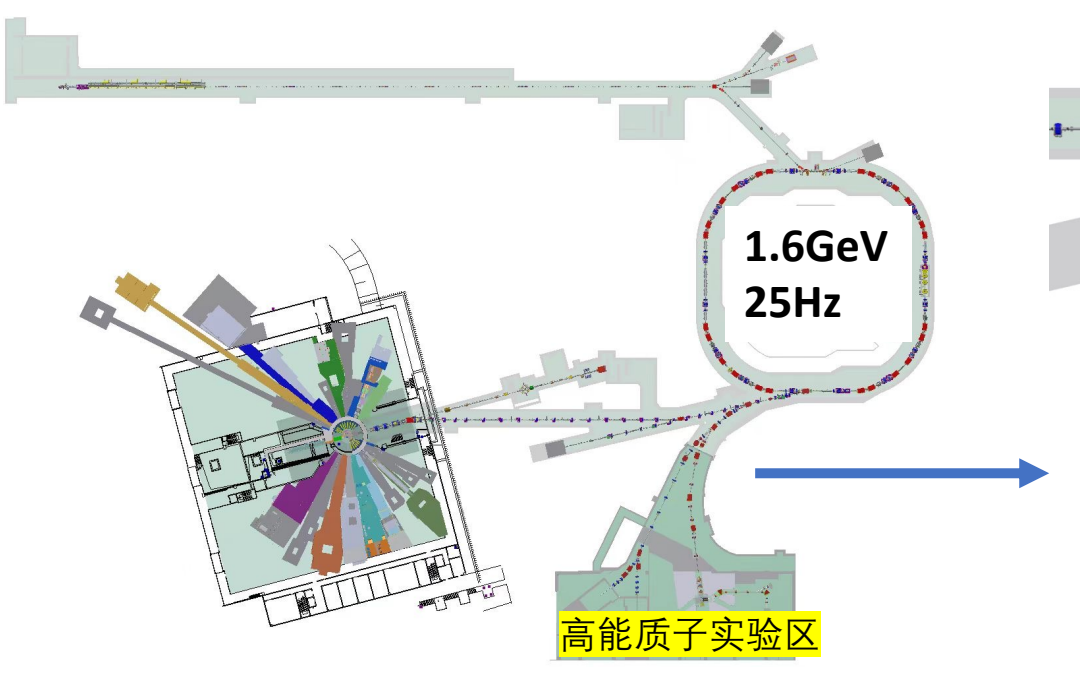
史欣 代表 BMOS 开发团队



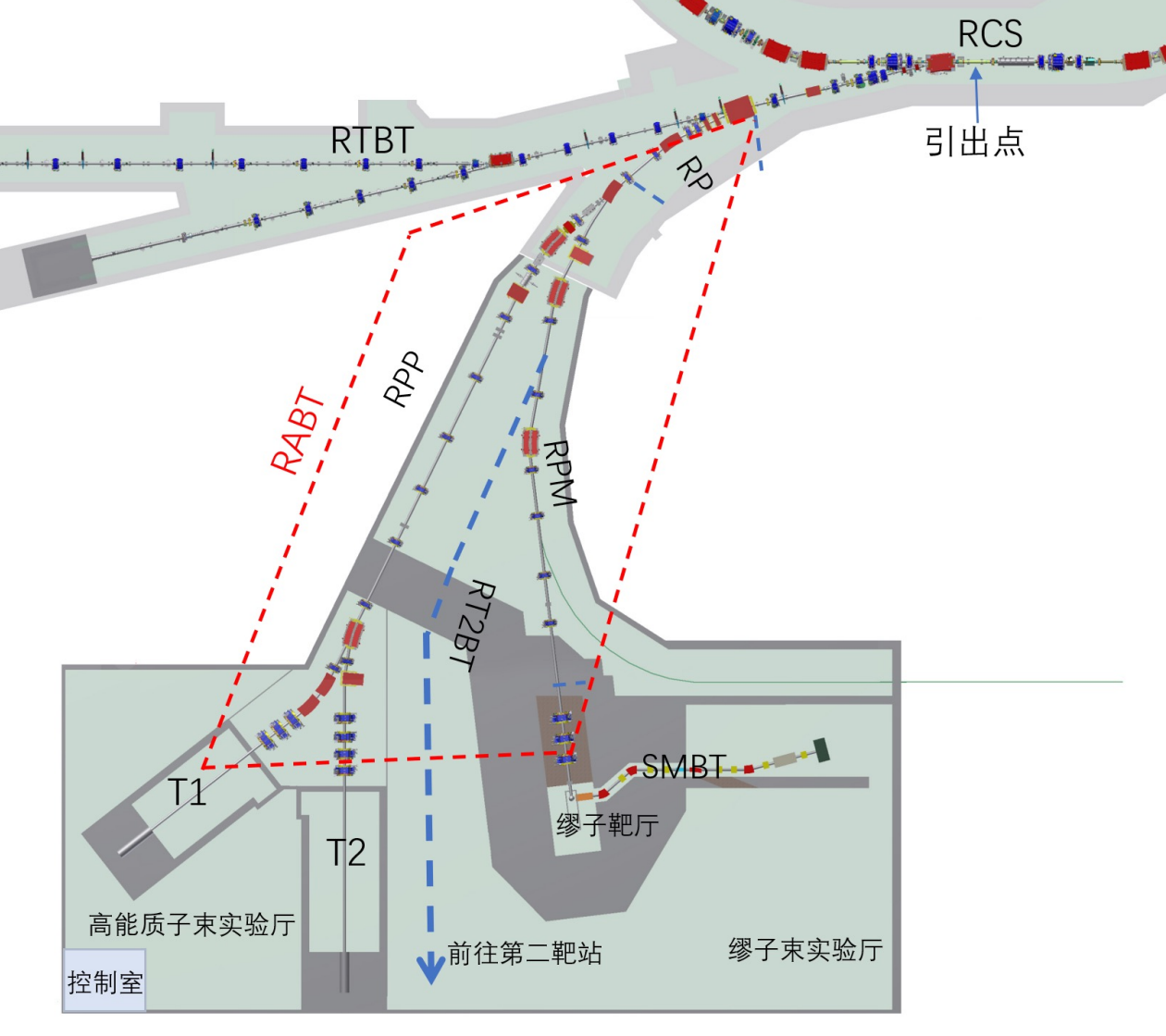
中國科學院為維物程研究所 2025年8月16日

测试束流与先进探测技术研讨会

CSNS 高能质子束流



参数名称	设计指标		
质子能量范围	0.8-1.6 GeV		
束流宏脉冲频率	24 Hz		
质子流强	$10^3 - 10^7 \text{ n/s}$		



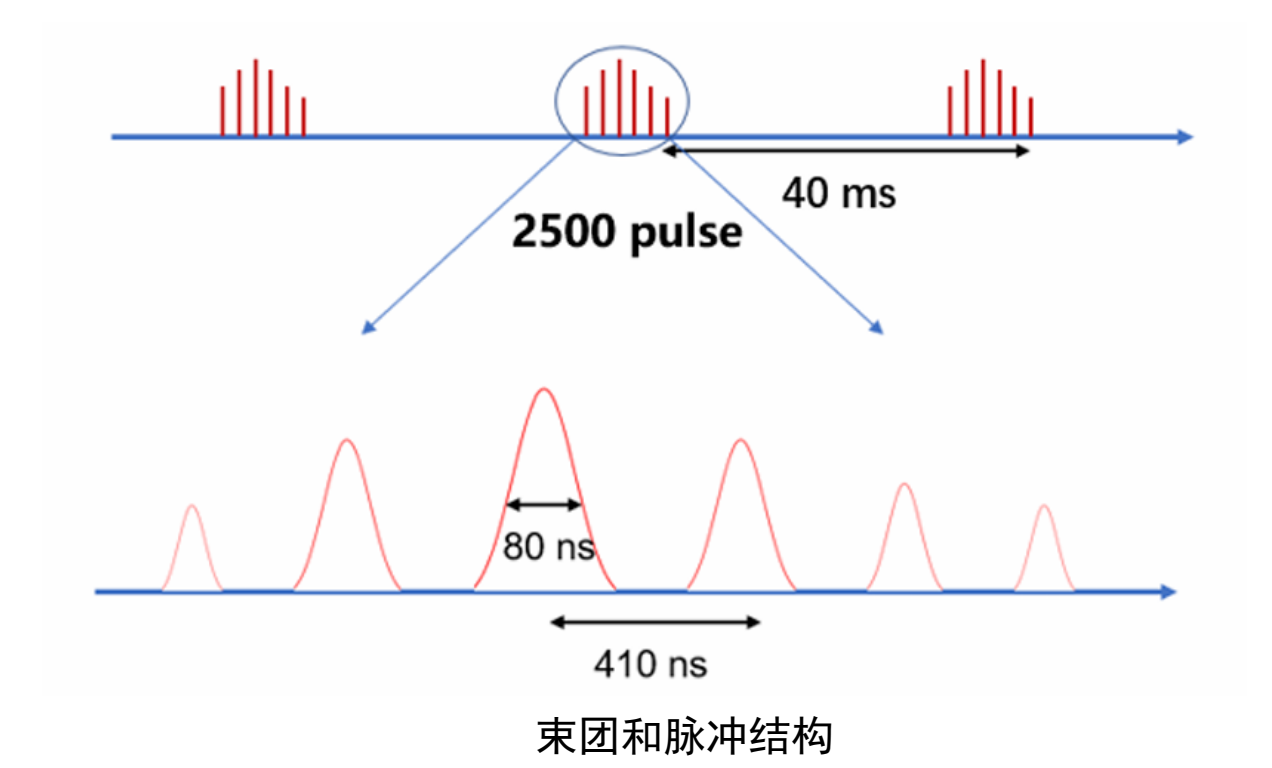
束流参数

• 束流参数

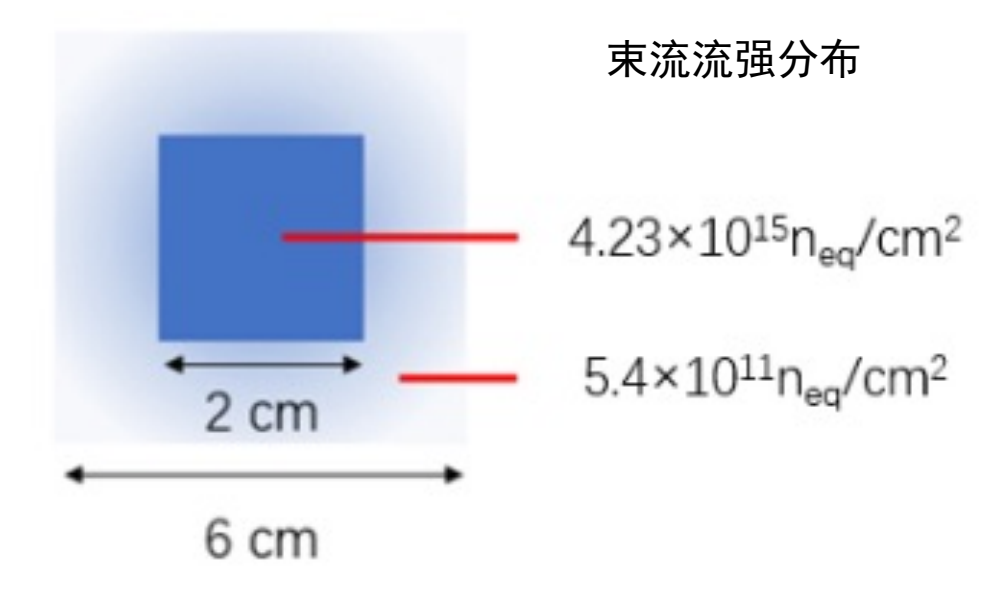
• 质子束流能量: 1.6 GeV

脉冲间隔: 410 ns脉冲宽度: 80 ns

• 束团间隔: 40 ms



1.6 1.4 1.2 1.0 0.8 0.6 0.4 0.2 0 3000 6000 9000 12000 15000 18000 21000 Turn



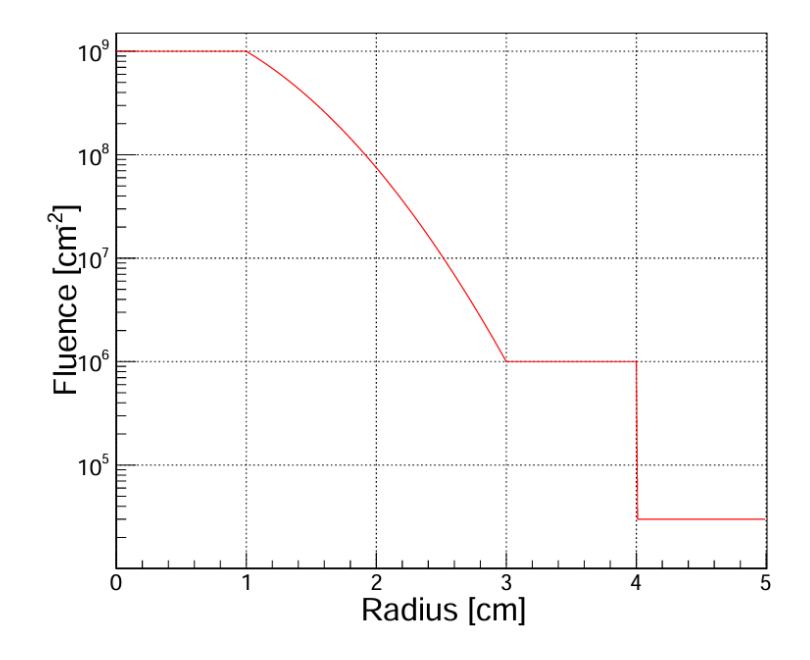
BMOS 整体设计

设计目标

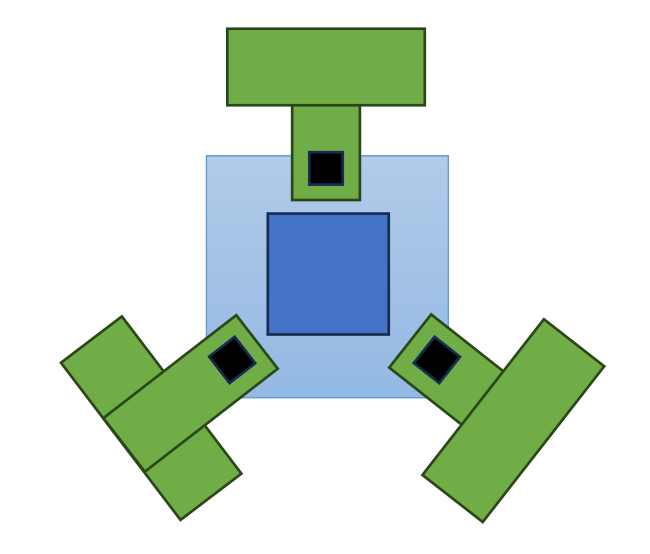
• 实时监测束流(20ns/hit)强度、位置及均匀性

• 设计寿命: 5000 小时/年

• 测量误差: < 1%



- 探测策略: 间接测量法,将探测器布置于束流中心边缘 (距中心 3.5 cm),避开中心高剂量辐照区域,保障探测器寿命与束流稳定性。
- 监测逻辑: 通过测量边缘束流强度, 结合束流强度分布模型反推整体参数。
 - 1. 束流有效工作区域: 中心 2 cm×2 cm 正方形
 - 2. 探测器布局: 边缘非直接辐照区



总体布局及设备组成



- 探测器
 - 碳化硅PIN传感器和前端读出板T1
 - 读出1.6 GeV质子束流的信号
- 读出系统
 - 基于CAEN DT5742设计
 - 将产生的模拟信号转换成数字信号进行读出
- 控制终端
 - 负责整个系统的运行与数据处理

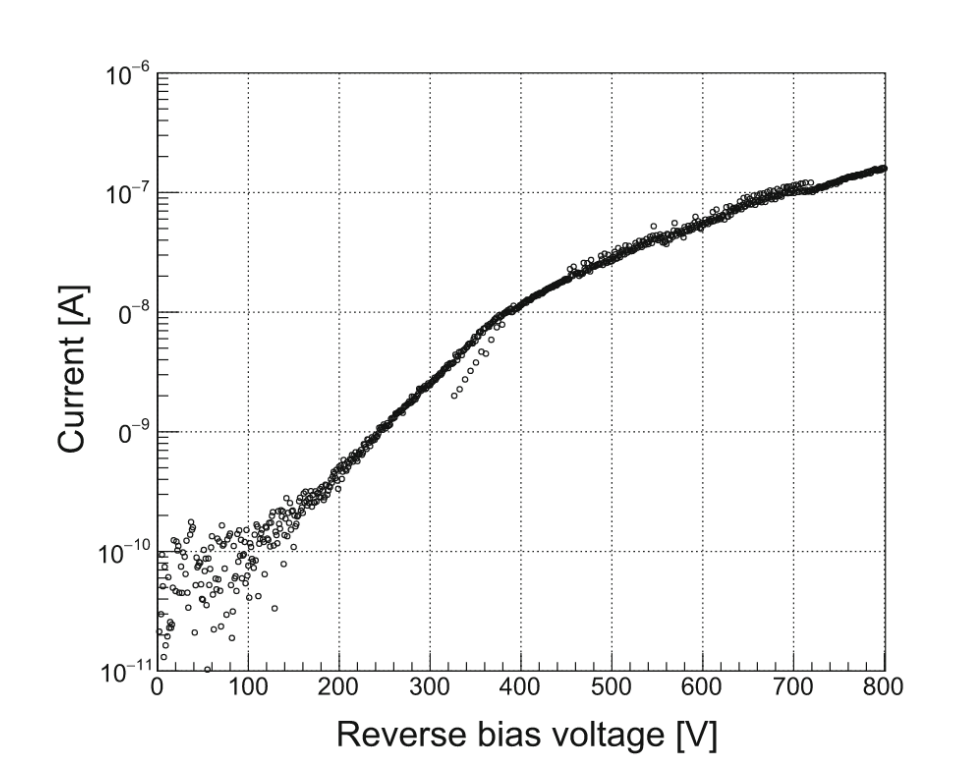
碳化硅传感器

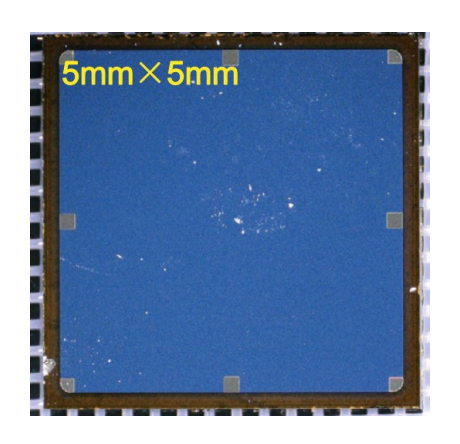
• 采用南京大学研制的 SiC PIN

• 尺寸 5mm X 5mm

• 外延层: 100 µm

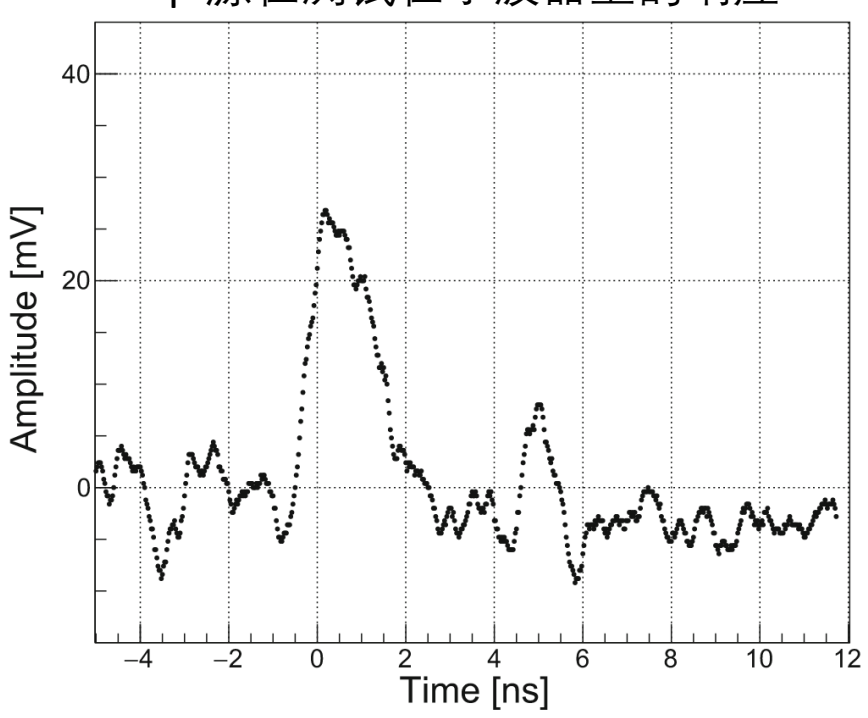
• 漏电流: ~20nA@500V





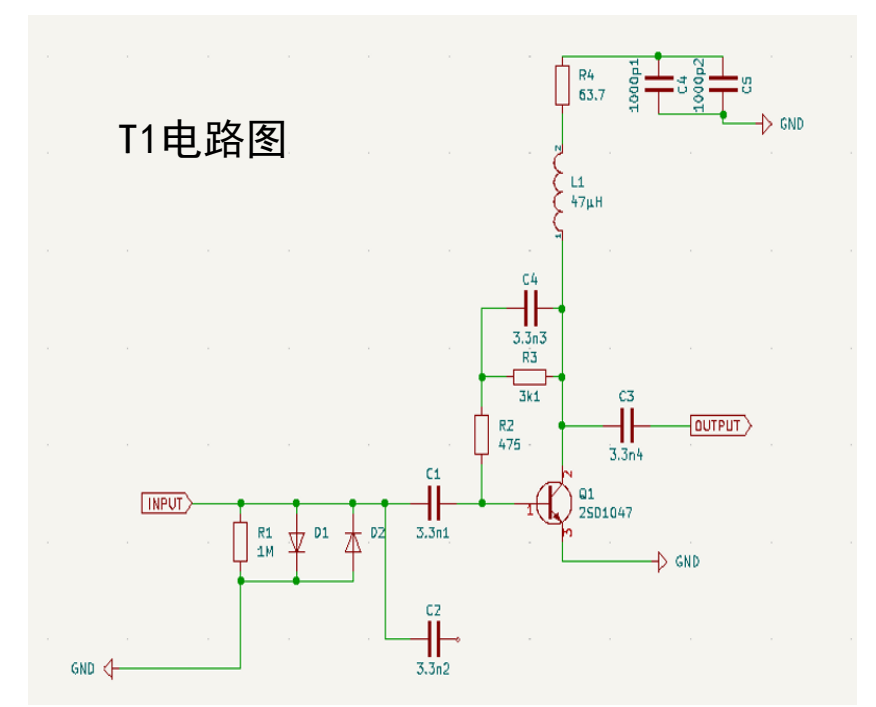
Au 1um	Passivation layer	Au 1um		
Ni 75nm				
Imp P+				
100um N- epi				
350um N+ 4H-SiC sub				
Ni 75nm				
Ti/Al/Au 1.5um				

β源在测试在示波器上的响应

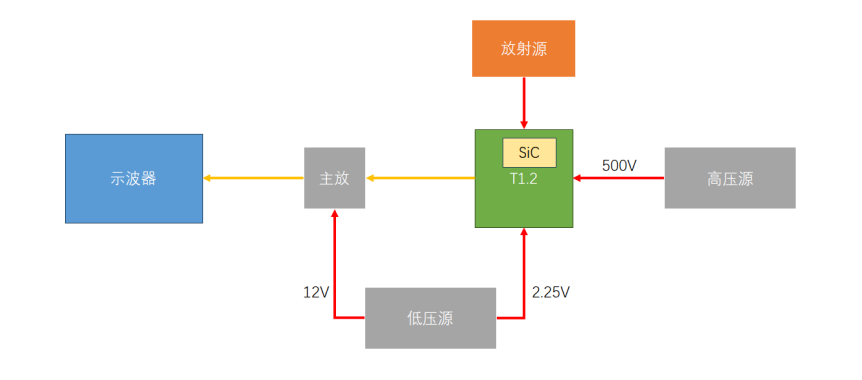


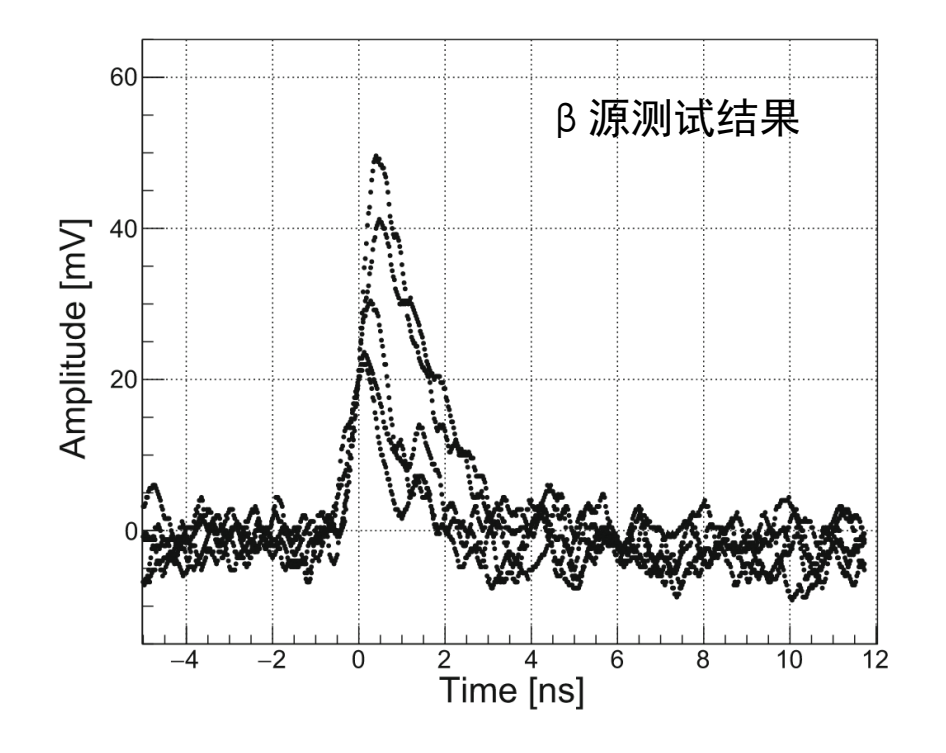
读出电路板设计 T1

- 放大器的基本结构采用跨阻放大器TIA
 - 将电流信号放大为电压信号,并保持原信号的形状
 - 放大倍数约为20dB









读出系统设计

• 读出系统采用了CAEN DT 5742波形数字化仪器, 其功能是读取模拟信号波形并转换为数字信号读出

SMA-MCX

• 主要参数

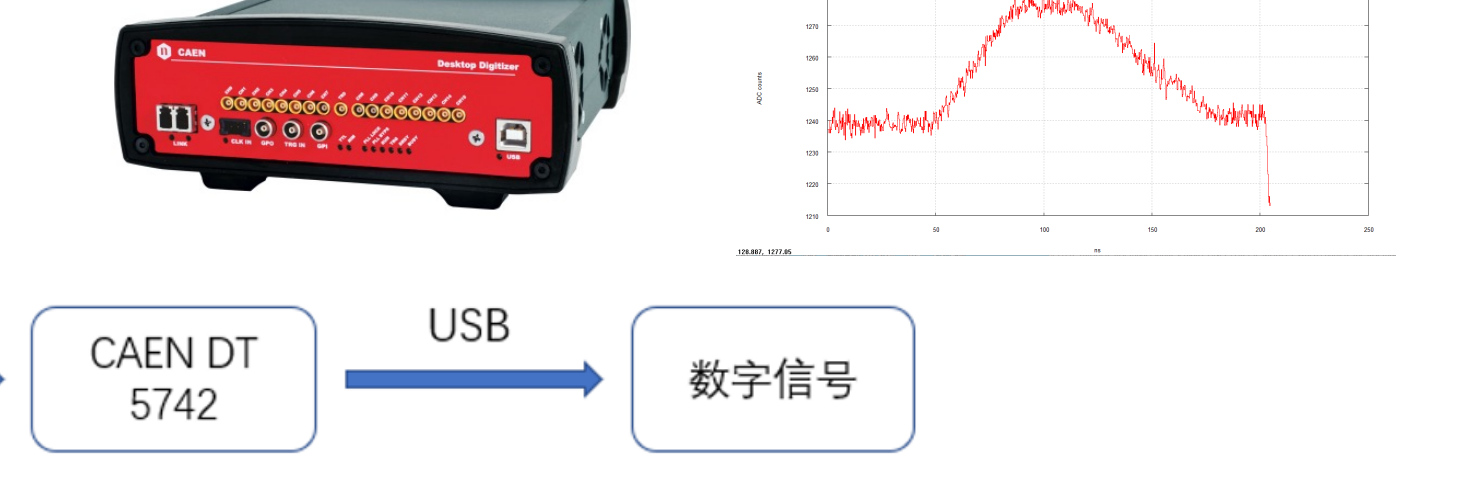
• 分辨率: 12 bit

• 通道数: 16

• 采样率: 5 G/s -750 M/s 可调

T1模拟信号

• 死时间: 110 μs



- 连接方式为CAEN DT 5742输入T1产生的模拟信号,通过SMA-MCX转接线连接,产生的数字信号可以用USB进行输出
- 使用信号发生器模拟束流的信号,周期410 ns,信号时间展宽80 ns。通过调整采样延迟时间可以完整采到 第二个周期的信号

机械设计与真空方案

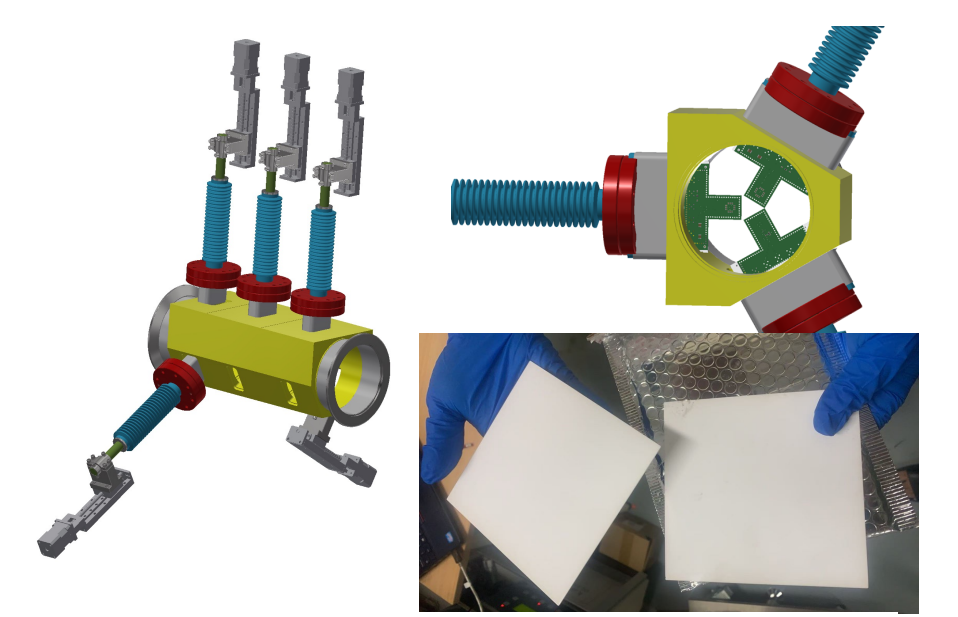
• 共享真空腔:

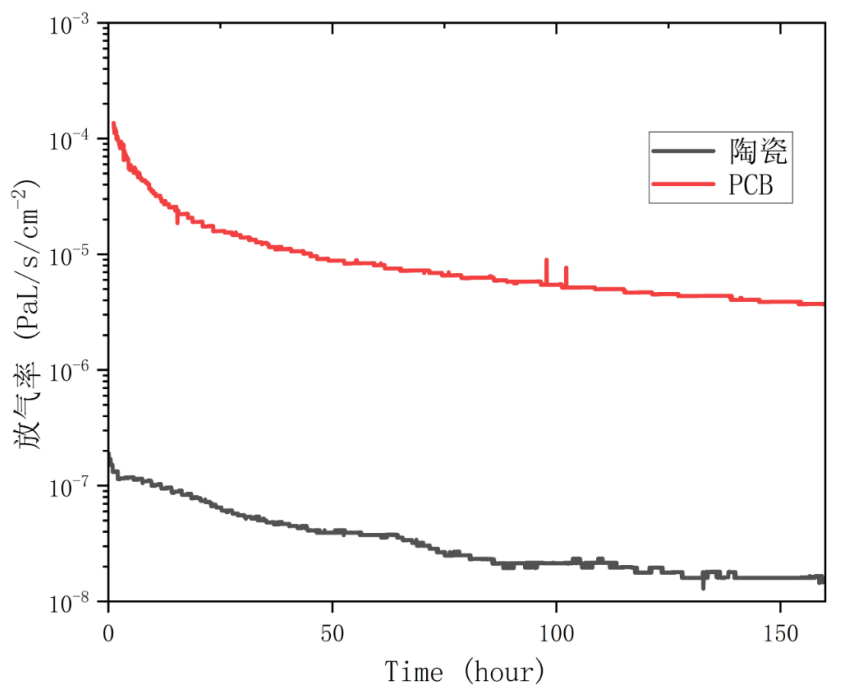
• 与其他装置共用真空环境, 降低系统复杂度

• 机械设计:

• 轻量化支撑结构适配探测器与电子学模块集成

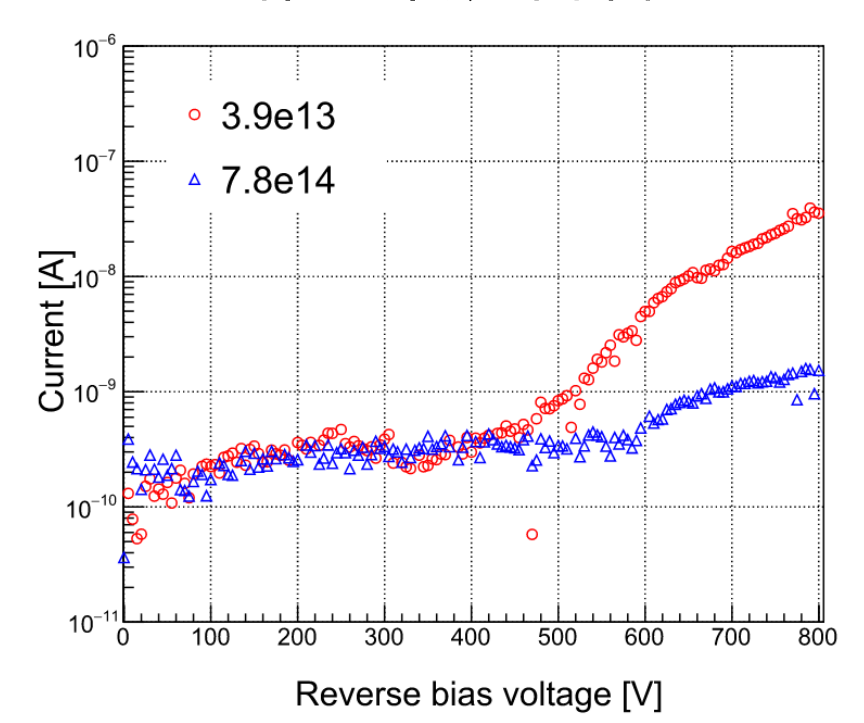
- T 型陶瓷板: 双层设计
 - 放气率 ≤10⁻⁹ Pa・m³/s (真空兼容)

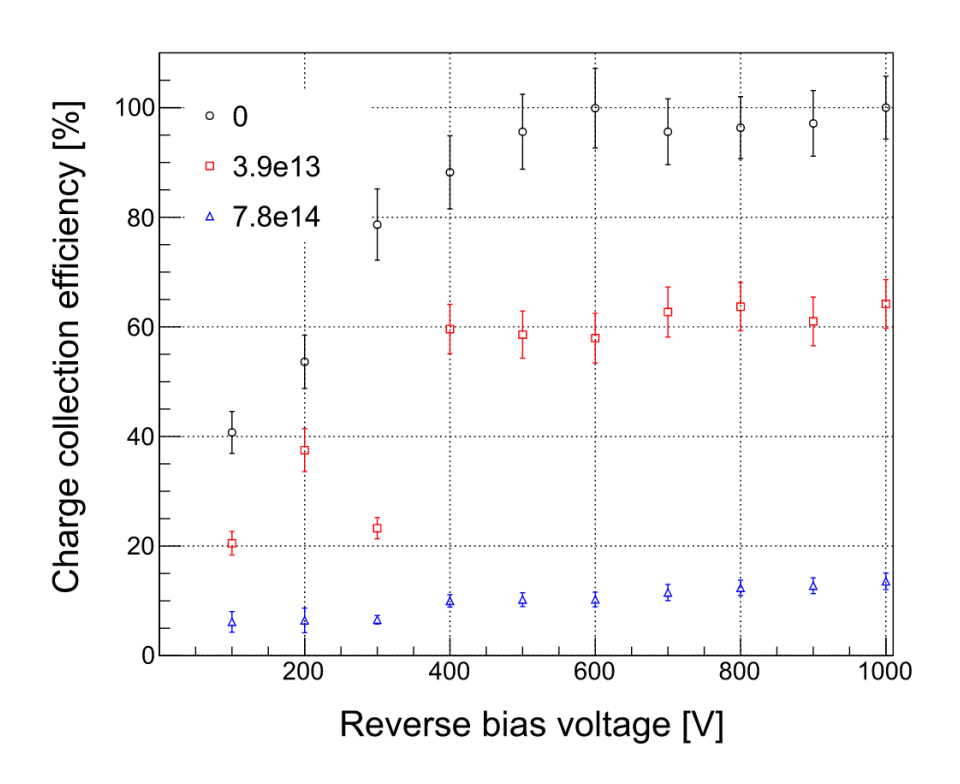


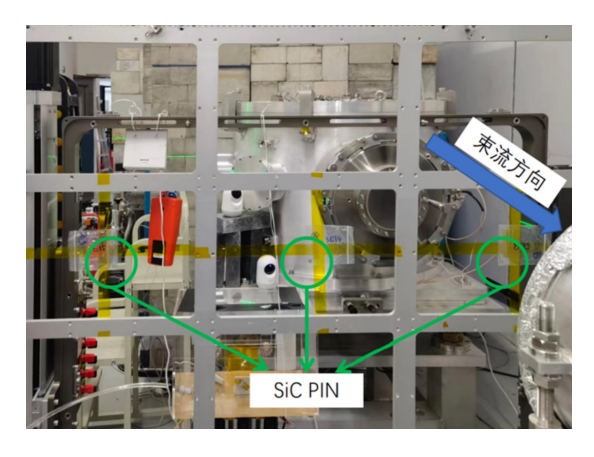


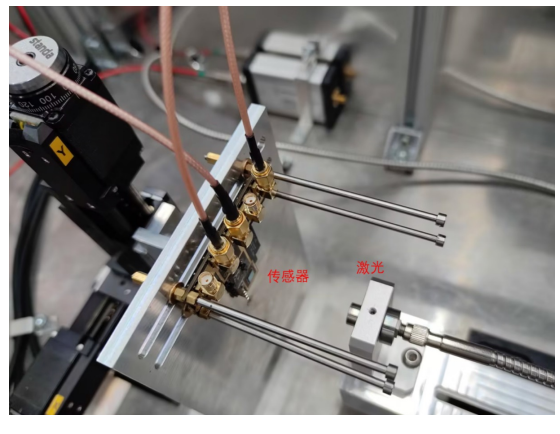
传感器辐照测试

- 在CSNS 的伴生质子束 80MeV 进行了辐照测试
 - 估算BMOS 工作一年的等效剂量为 $1 \times 10^{12} n_{eq}/cm^2$
- 通过355nm激光测试电荷收集效率
 - 工作一年效率降低~2%







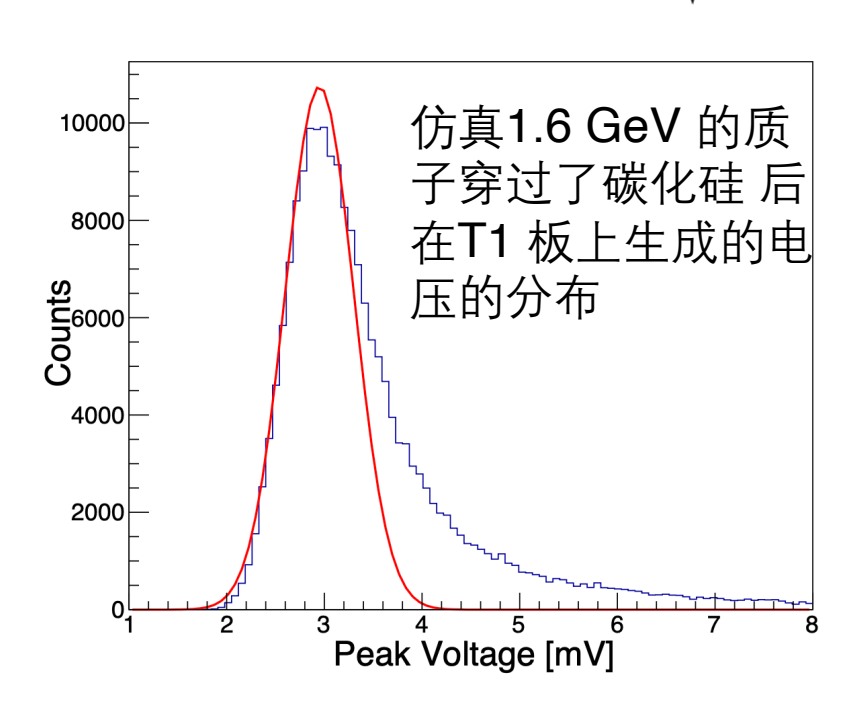


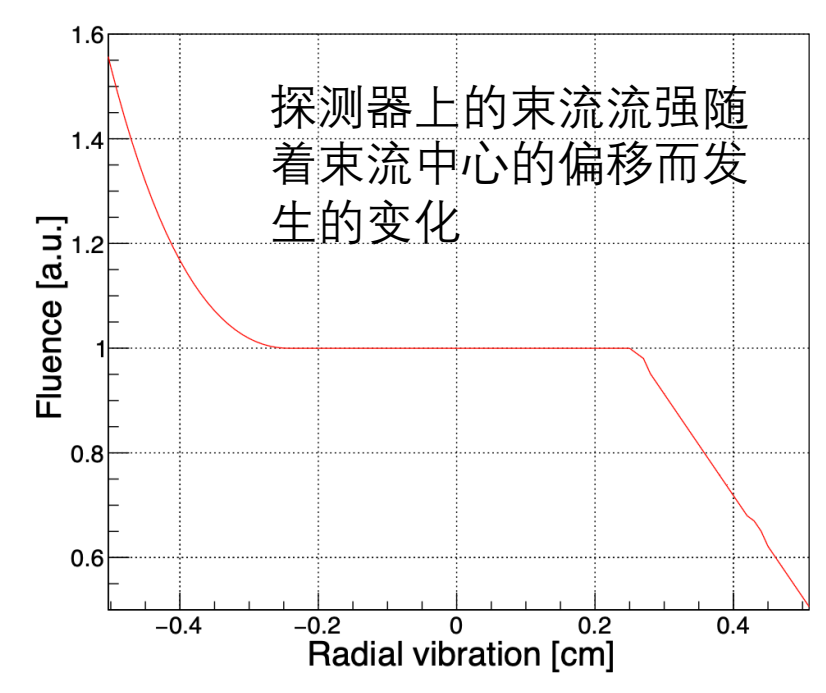
测量误差

 $\sigma = \frac{N_{loss}}{N_{total}}$

- 束流监控系统的误差: 未被探测到的粒子/束流总粒子数
- 主要来源: 朗道噪声、电路板背景噪声、辐照损伤、束流震荡

$$\sigma_{\text{total}} = \sqrt{\sigma_{\text{Landau}}^2 + \sigma_{\text{elec}}^2 + \sigma_{\text{rad}}^2 + \sigma_{\text{fluc}}^2} < 0.68\%$$





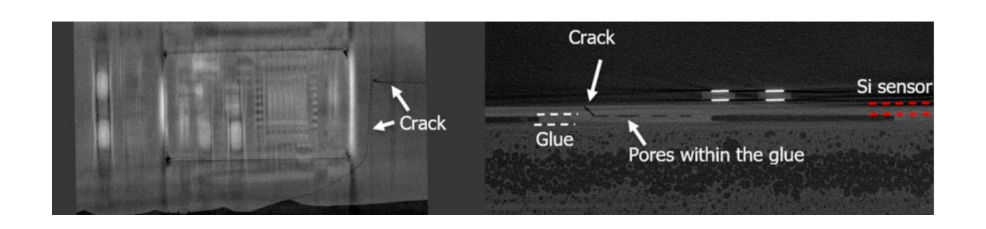
Source	σ / %
$\sigma_{ m Landau}$	0.33
$\sigma_{ m elec}$	0.30
$\sigma_{ m rad}$	0.10
$\sigma_{ m fluc}$	< 0.14

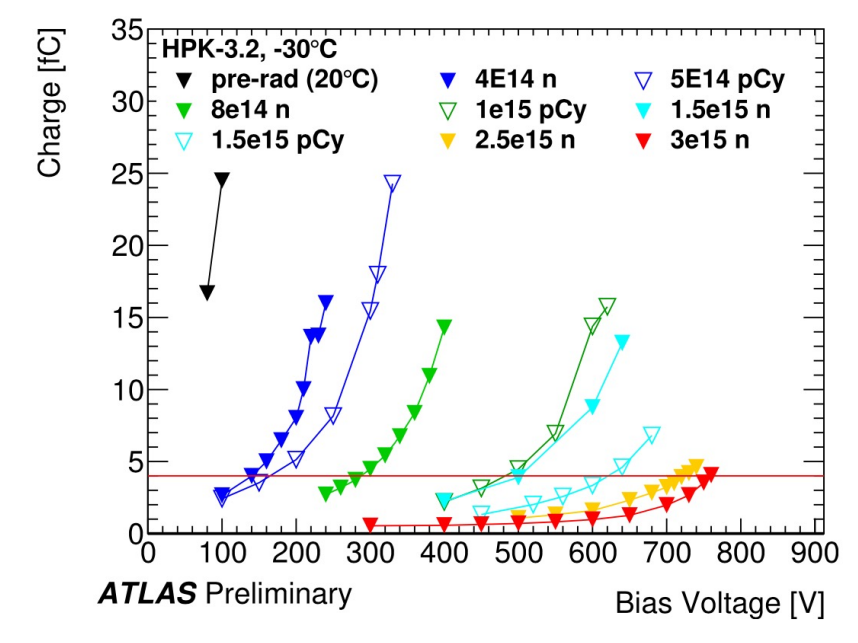
• 物理设计达到束流测量精度 < 1% 的要求

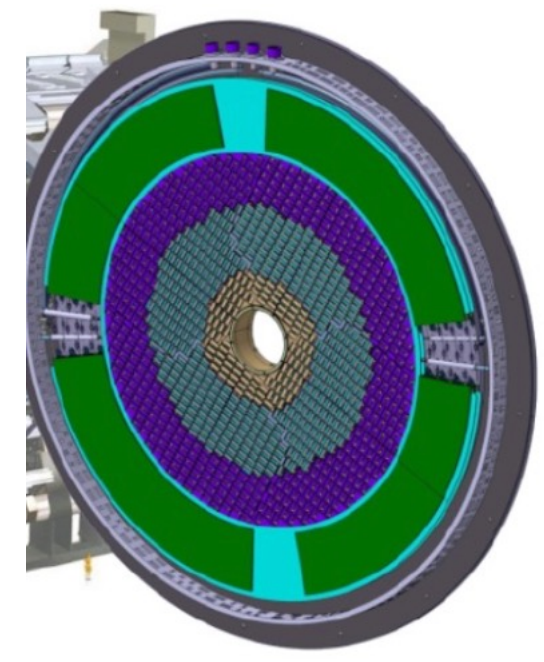
碳化硅传感器

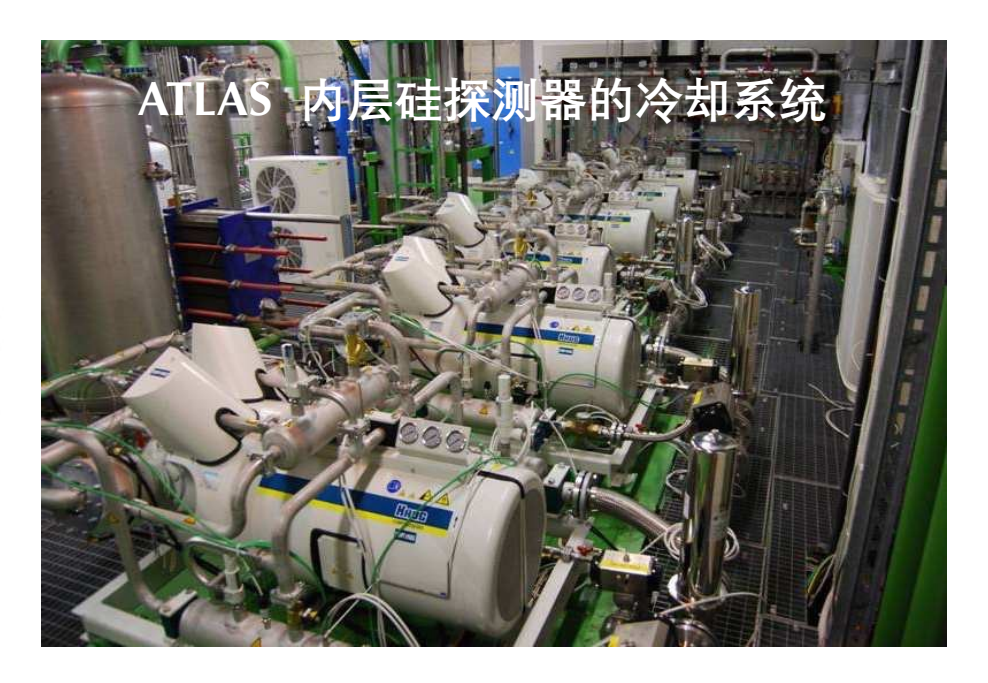
硅探测器的局限性

- 硅探测器已经在高能物理实验上有成熟的应用,但是有局限性:
 - 抗辐照性能差 ⇒ 需要更换内层探测器
 - 辐照后漏电流增高 ⇒ 需要在低温下运行
 - 硅微条传感器低温下产生碎裂现象

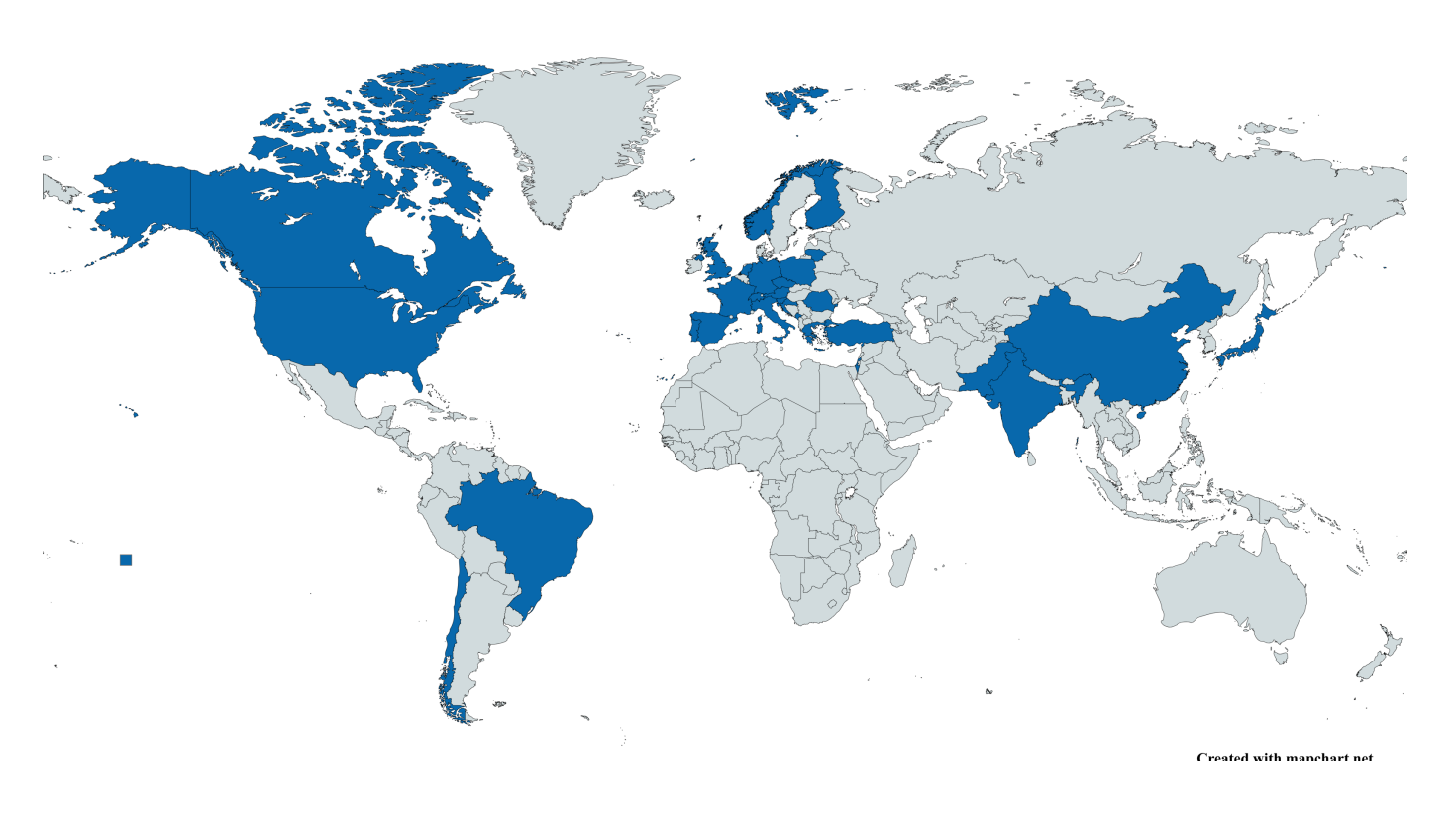








DRD3 半导体探测器国际合作组



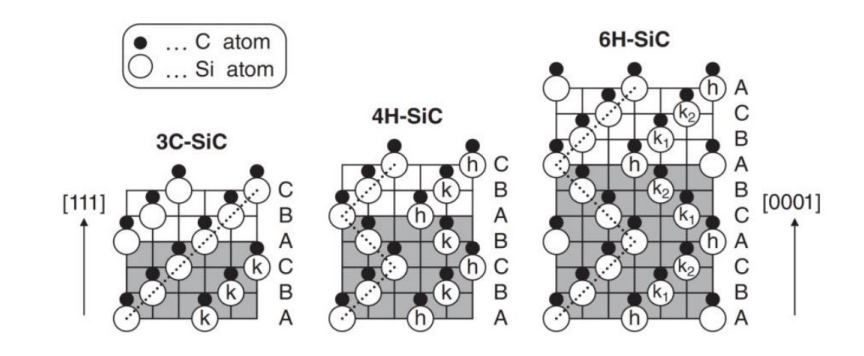
8个研究方向

- 1. 集成式硅探测技术
- 2. 复合式硅探测技术
- 3. 辐射损伤与强辐照环境
- 4. 半导体探测器仿真
- 5. 测试技术与设施
- 6. 宽禁带与新型传感器材料
- 7. 键合与器件制做
- 8. 宣传与推广

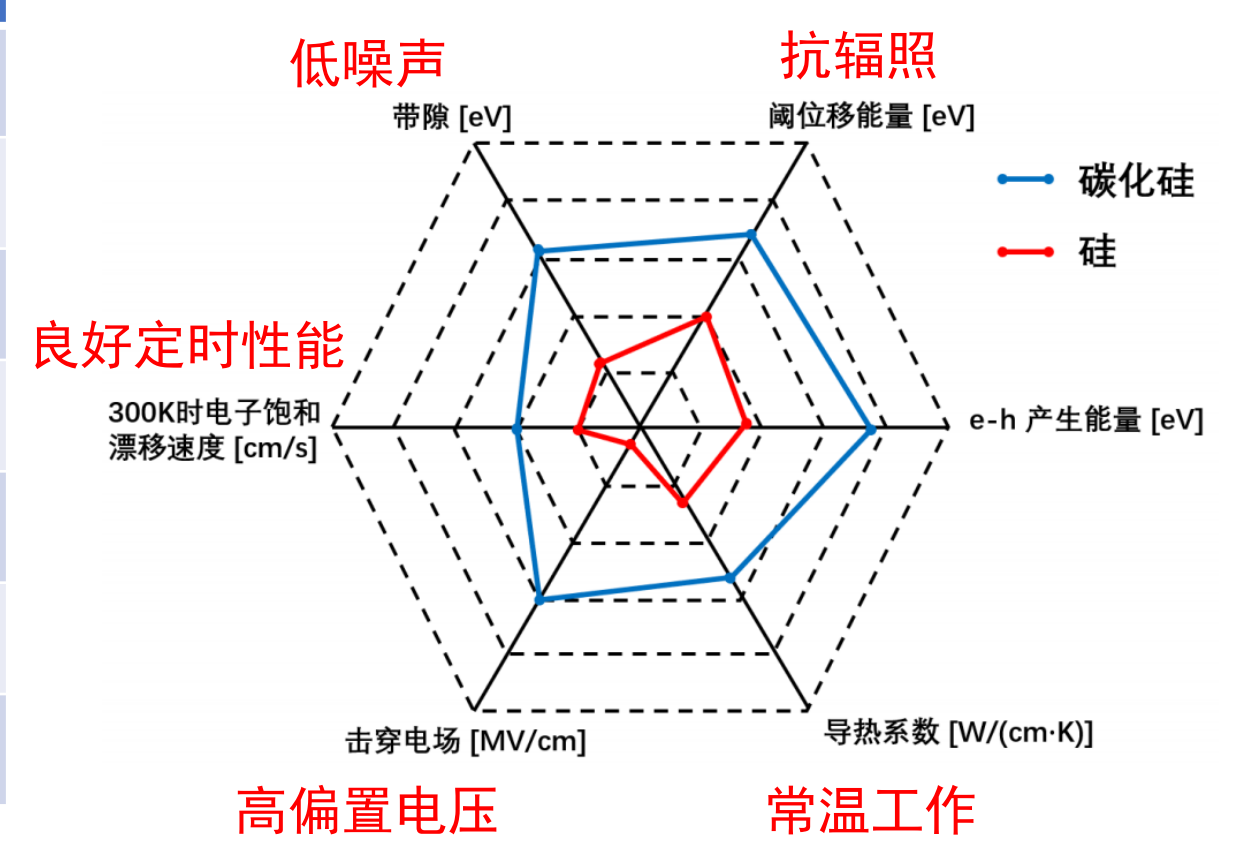
- 140 多个单位
- 570 多位成员

https://drd3.web.cern.ch

碳化硅作为粒子探测器的潜力

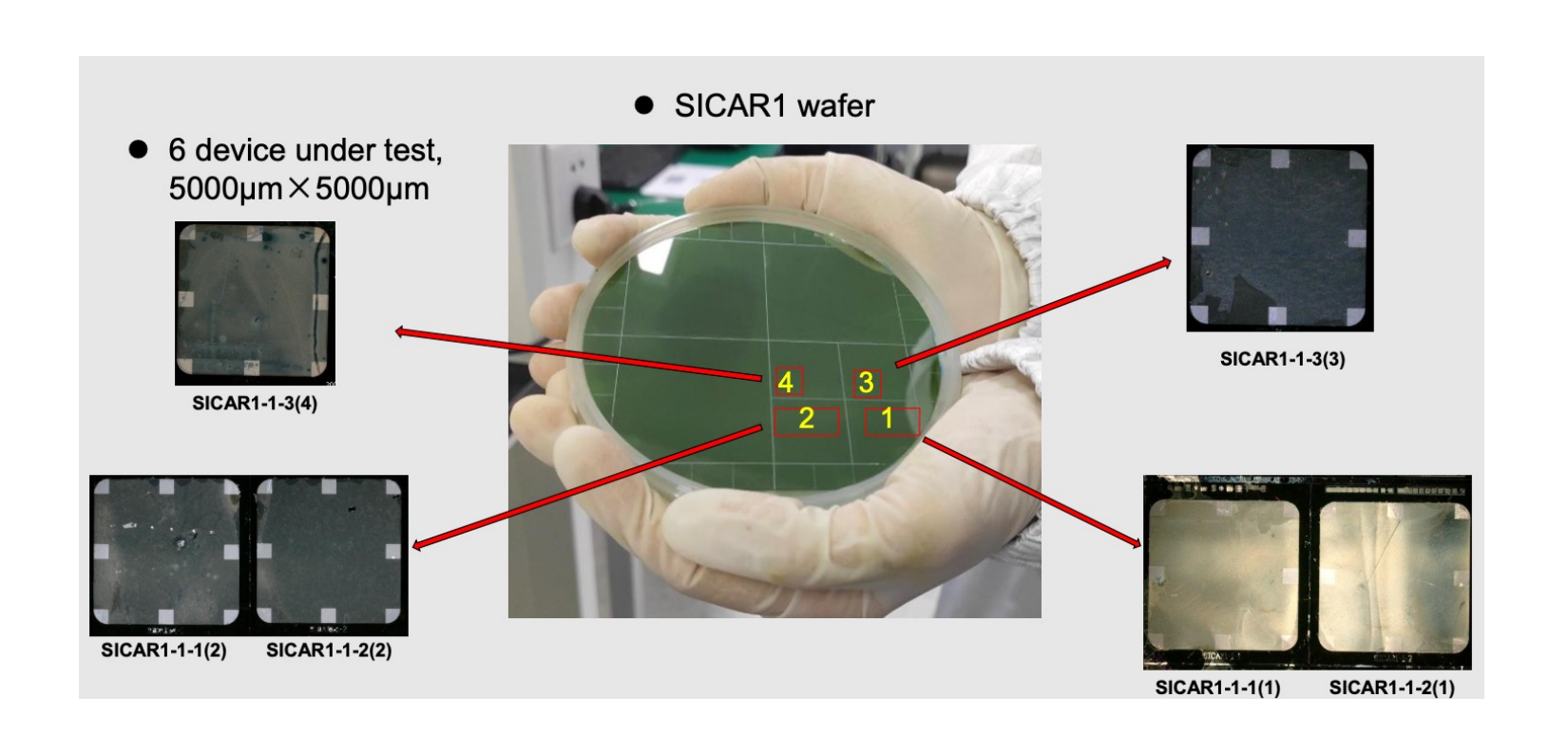


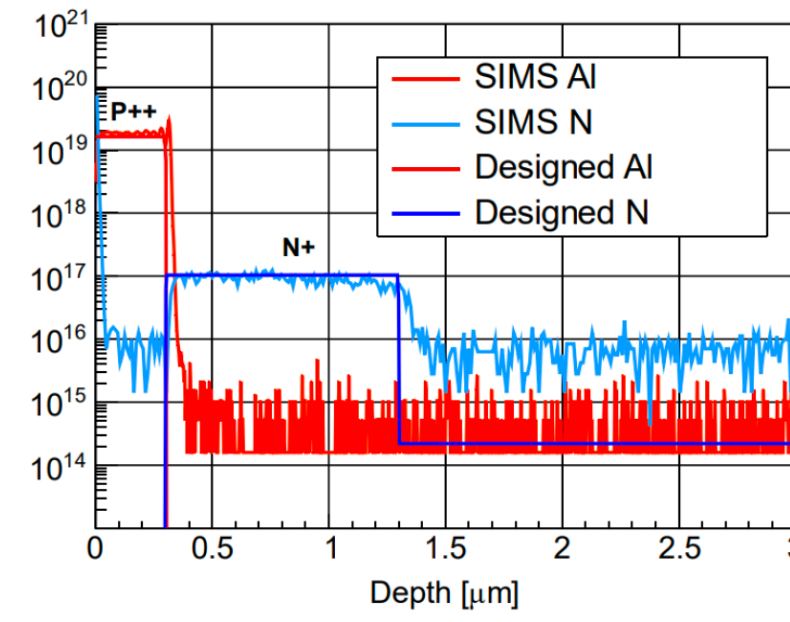
物理量	硅	碳化硅
禁带宽度 [eV]	1.12	3.26
热导率 [W/K cm]	1.5	4.9
击穿电场 [MV/cm]	0.3	2.0
原子位移阈能 [eV]	13	22
平均电离能 [eV/e-h]	3.6	7.8
电子饱和漂移速度 [cm/s]	1e7	2e7
空穴饱和漂移速度 [cm/s]	0.6e7	1.8e7



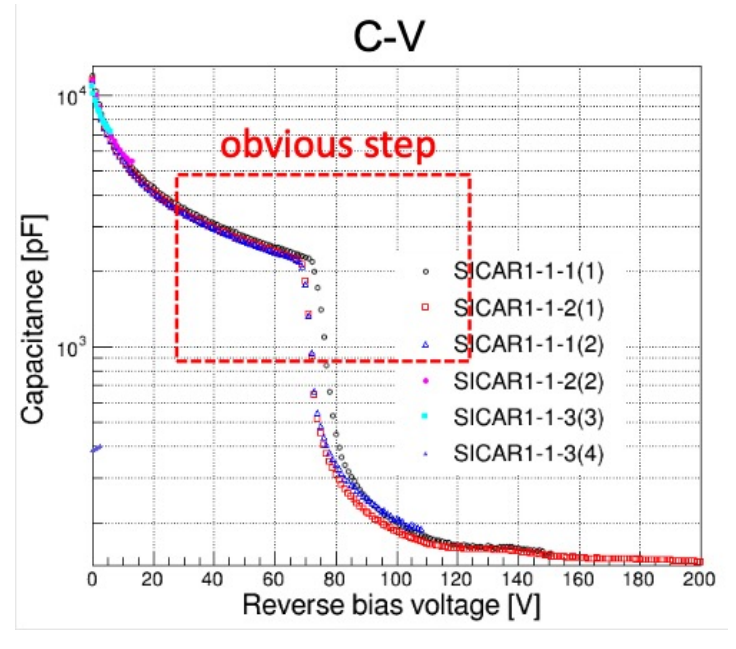
SICAR1 - 外延片与加工工艺

- 研制碳化硅低增益快时间探测器SICAR
 - 第一版初步结果显示出增益层结构

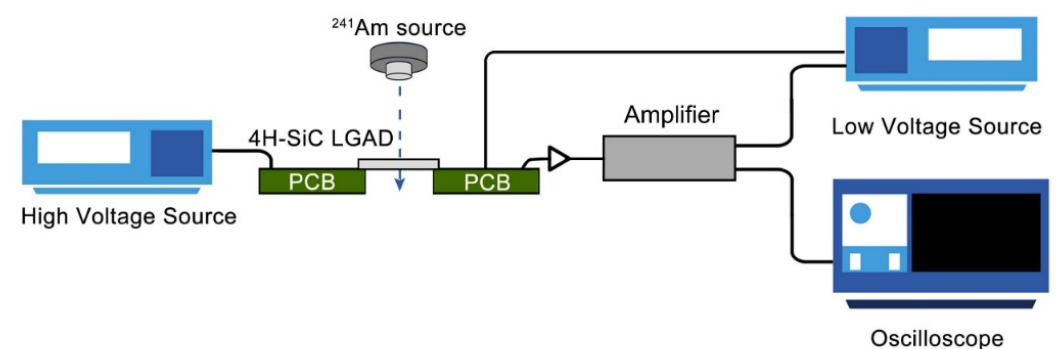


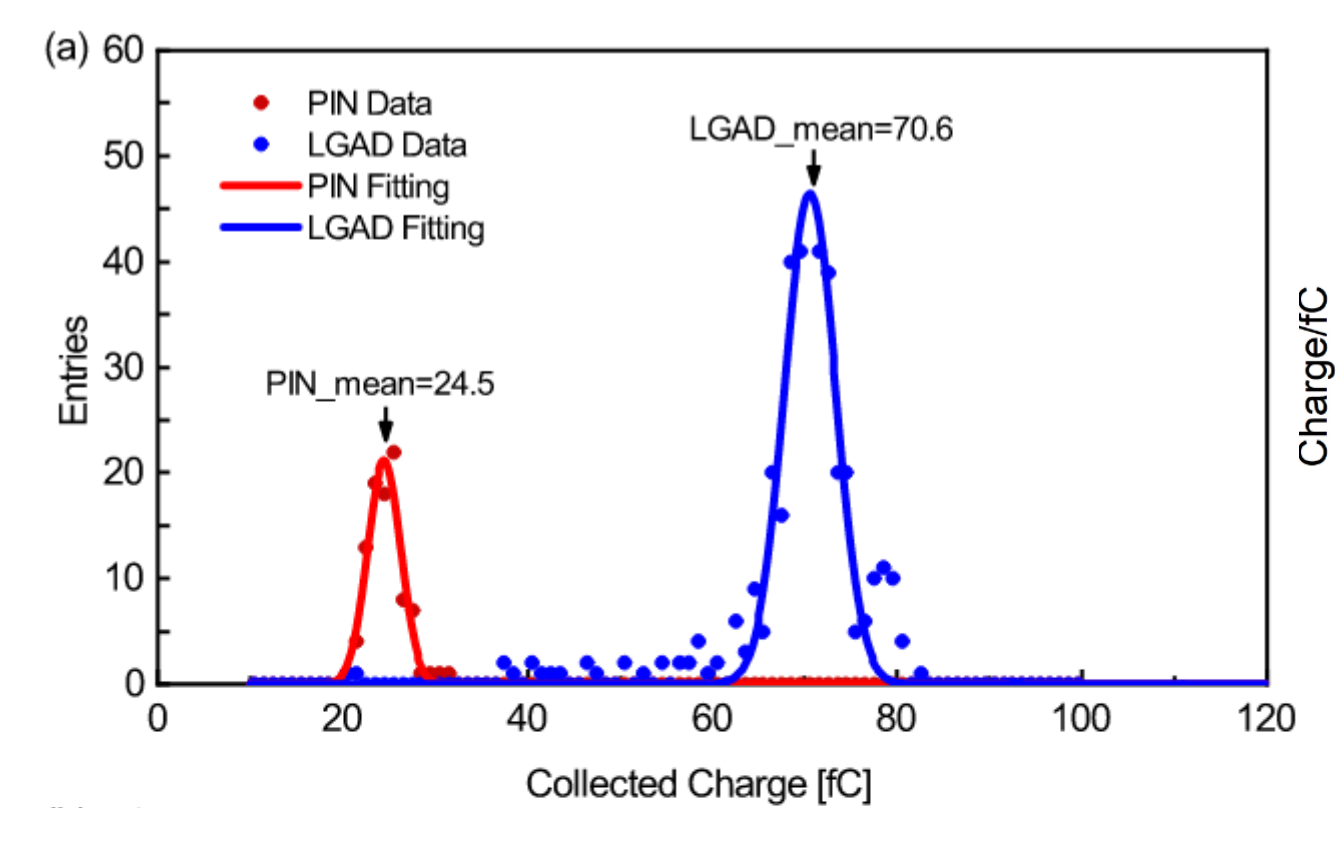


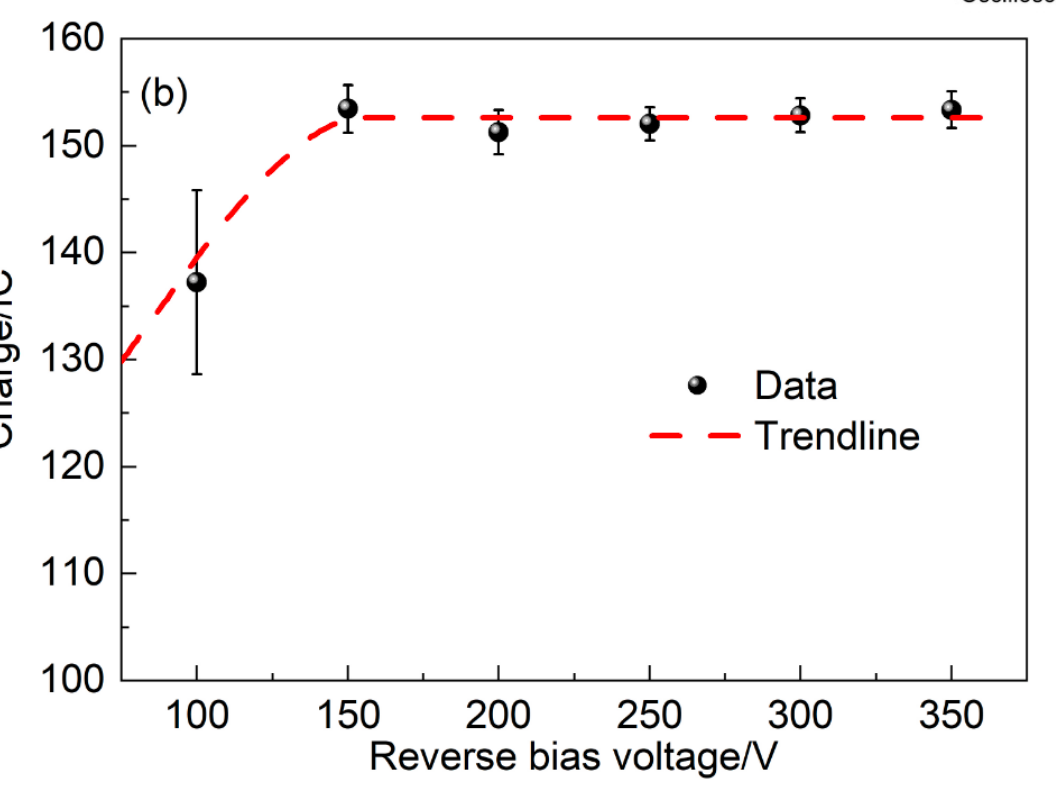
Concentration [cm⁻³]



$SICAR1 - \alpha$ 源测试







• 电荷收集量相比 PIN 明显增大

150V~350V 电荷收集趋于饱和

IEEE VOL. 71, NO. 11, 2024